

TT-500 A型ログット8号機による 宇宙材料実験についての中間成果報告

昭和55年12月10日

宇宙開発事業団金馬材料技術研究所理化学研究所

且次

	\ - /
まっっつーーーーーーーーーーーーーーーーーーーーーーーーーーーーーーーーーーー	3
	<i>1L</i>
ロケットの打上げについてーーーーーーーーーーーーーーーーーーーーーーーーーーーーーーーーーーーー	0
ニッケルノ 系複合合金の製造実験について・・・・・・・	7
アモルファス半導体の製造実験について・・・・	16
. h	21
	まえがきロケットの打上げについて

/ まえがさ

宇宙開発事業団は、昭和55年9月14日にTT-500A型ロケット8号機 も種子島宇宙センター竹崎財場において打ち上げ、同日、待機していた別収 船により宇宙材料実験装置(運気炉子個)を搭載した頭铜部を回收した。

金馬材料技術研究所(材料強で研究部 オー研究室長高橋山之助停士)及び理化学研究所(嘱託、大阪大学基礎工学部決川圭弘教院)は、宇宙開発事業、国との共同研究により、その後 ニッケル(Ni)ー ナタンカーバイド(TiC)合金製造定験用定気炉No.1とNo.2及びアモルファス半年体製造実験用定気がNo.3で製造工いた試料の分析を行っている。

この中間成果報告は、昭和56年1・2月期に予定されて、、るTTー500月型
ロケット9号機による打上げ(8号模と同様の実験)の前に、現在まで、行った
ロケット銀行解析及が各試料の分析ドフリマの中向報告という形で切まとめたものである。
この実験は、科学技術方の昭和52、53、54年度特別研究促進調整質による「宇宙空間を用いた新材料製造のための地上実験に関する総合研究」の成果、ふまえて準備され実施されて、、る。

なお、最終報告は更に試料分析を進めり号機の成果をも考慮してとりこと める予定である・・

2.ロゲットの打上げについて

2.7 打上げの目的

TT-500 A型ロケット8号機の打上では、宇宙材料実験用搭截実験装置 及び回収システムの機能確認等を行うことを目的とした。

2.2 打上げの概要

TT-500A型ロケット8号機は、昭和55年9月14日午前7時00分 に種子島宇宙センター竹崎村場から打ち上げられた。

オ1段及びオス段固体ロケットの燃烧は正常であり、オノ・2段分解及び オン段・頭胴部分離も正常に行われた。

引三統三、宇宙材料实験用搭載实験装置等下搭載し下頭開部《姿勢角速度 の制御で行い、発射後クス、かかのらくかからかまでの間に宇宙材料実験で来 施した。

所定の宇宙材料実験で終えた頭脚部は、パラシュートを開拿して種子的の 東方約500 加の海面に落下し回収船により午前11時38分に回収された。 この打上げ及び回収の結果の概定を表之・1,2・2に示す。

2.3 打上广結果a檢討

(1) 修行經路

TT-500 A型ロケット8号機の飛行経路で図2·1に示す。最高到途高度 双于想值より約40 km 低くなったが、材料実験終了時(発射後485、8秒) の頭胴部の高度は100名加以上あり、材料実験への最少等はなかった。 (2) シーケンス・オブ・イベント

表2.1中に主要なイベントで示す。シーケンス・オブ・イベントは正学で あった。

(3) 搭載実験装置作動状況

図3·3、図3·4及び図4かに運気炉温度データを示す。愛気炉水の./
(水; 茶合金)及びNO.3(アモルファス半辛体)の温度データは、ほぼ正常である。NO.2(Ni 茶合金)は、発射後ようかか付近で1,900°Cと見常に上昇している。

(火) 加速度環境

慎性保行中は、機期方向フ.ダ×10~4分、セッケ、ヨー期方向6.0×10~2~ 8.0×10~2分程度の低重力環境が得られた。

2. 4 次号機への反映事項

- (1) 電気炉 No. 2の温度の関学上昇の原因については、温度電力制御装置の サイリスタにノイズがのり、電力運動が不可能になったためである。よっ て次号後以降に対しては、ノイズ対策を実施した。
- (2) 最高到達高度が干想値より低か、た原因については、計算に使用した空力抵抗係数水実際より低かったこと、及び風により機体の上下目がノミナル値より低くはったことによるものである。

よって、次号機に対しては,空力抵抗係数で見直し,保行経路部計算して シーケンス・オブ・イベントの見直して行った。

表2·1 TT-500A型ロケット8号機打上げ結果の概率

(1) 発射目時及び天候

	昭和55年9月14日(日)7時00分00.124秒
彩射日 姆	天候快晴,地上風北々東の風子。0 m/s
癸射時 の天候	
关州州 117	要量 0 , 気湿 23.3°C , 八二 グ

(2). 発射角

		1 3n 17 G	街 秀
頂目	基 準 角	· 鼓 足 月	/n/
光射 方位角	95°	105.7°	
·	7.80	77.0°	
必射上下 角	/8		

(3) 主要イベント

B) THE NAME			
	リフトオフ後	a 時間	角 考
ィベント	/ミナル値(秒)	実測值(177)	
1段燃烧終了	21.2	2/.3	
1.2段分離	24.0	23.9	
2投点火	27.0	26.8	
2段燃烧终了	50.0	49.7	
2段頭胴部分離	70.0	69.8	材料实験開始
真空排気弁、開"	72.0	72.5	材料实验N;-T;全金
爱気炉如熱制御開始	73.0	73.6	火菜笔火
ヨーヨーデスピナ作動	84.0	84.8	B_\$F.G.S
3 即 1 一 上 制 彻 目 七台	85.0	85.8	
文献レート制作MMSJ	105.0	105.8	材料実験アモレカスキタイ
母 気 炉 加熱 制 御 角 世白	105.0	350.9	
西西地加越出的海上	350.0	350.8	
一分和かス排気弁"月	350.0	485.8	材料笔镜终了
1 3217 7419 - 171-	485.0	600.5	
ベロースイッチイネーブル	600.0	600.6	尤高度約6,000m1主比時間
ドローグ・パラシュー教教	<u> </u>	610.9	
メイン・パラシュートが外	九+10	768.1	
回収船于以一大家没信息了		/	

表之之 頭胴部の回収状況

(1) 回収の主要イベント

(, ,			時刻	
	頂目	機材	時刻	
	テレメータ(295.0 ^{MH3})電波受信開始	回收胎	07時00分34初	
	ゼーコン (296.2mm²) 更波炎信開始 (メイン・パラシュート 開傘と推定)	航空機	07時10分	
3	11. 11. 11. 11. 11. 11. 11. 11. 11. 11.	国収船	07時12分48初	
	シーマーカ確認	航空機	07時20分	
\$	フローテーションバッグ発見	航空機	07時25分	
9	回収船フローテーションバック浮遊位置着	回収拾	11時10分	
	回収船により頭胴部船内収容	回収拾	11時38分	
				-

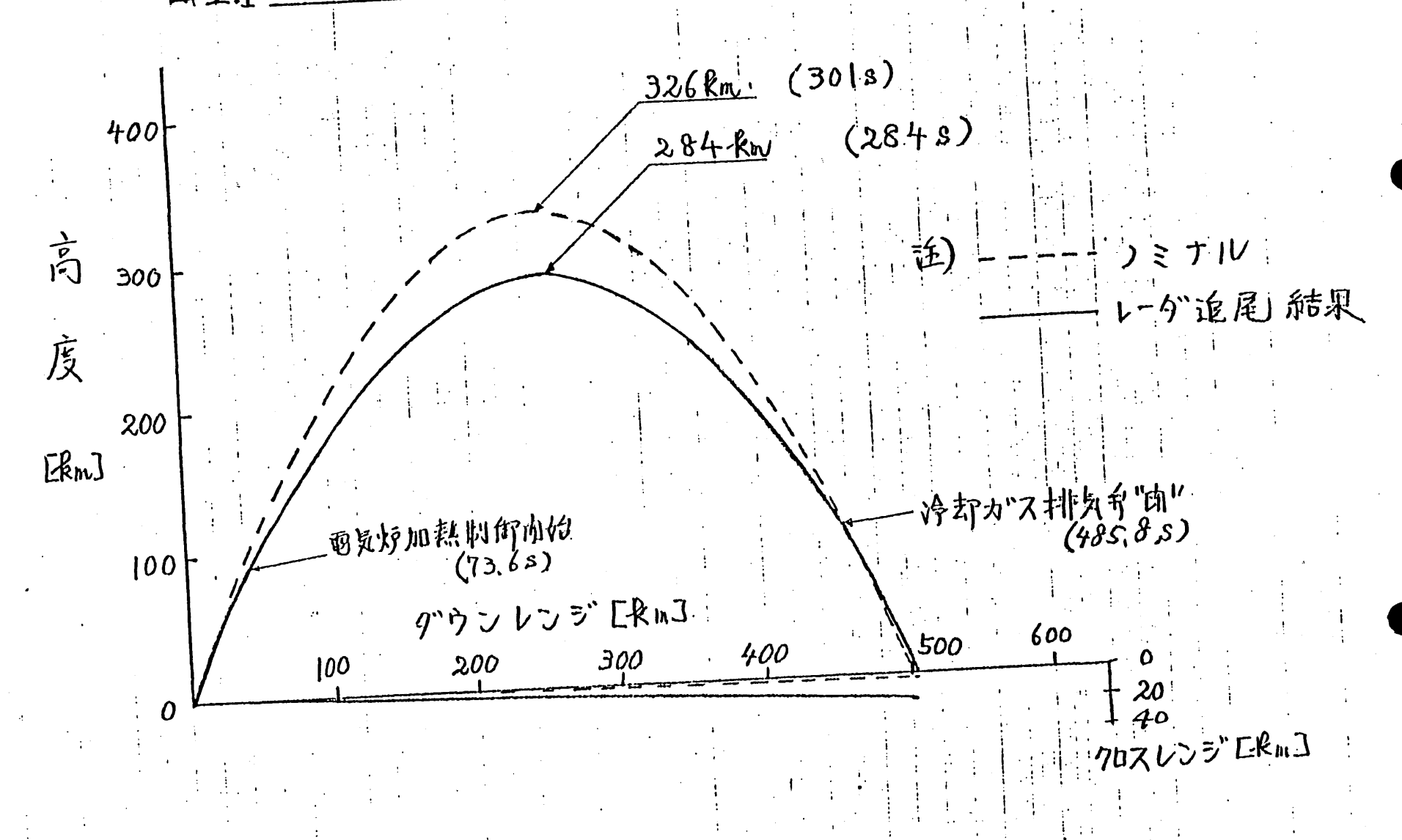
(2) 回収海域の天候

晴,北東の風 8m/s ,気温≥9.0°C , 気圧1,012.5mb 波高 0.5m, 雲量 Z,

(3) 国収位量

程子島の東方約500 Am (29°41′N; 136°15′E)

図·2.7 TT-500 A型ロケット 85株の飛行紙路



(%)

3. ニッケル奈複合合金の製造実験について

3.1 実験の目的

状態にしてから、これに圧力を加えて、試料の密度比を高め、 急速に冷却して、TiCのウイスカー及が粒子が均一に分散した Ni-Tic 系複合合金を作製することである。

TiCウィスカー及び粒子の分散したVC系合金は、硬度が大きく, 耐磨耗性, 耐熱性が良好である。地上におけるこの型の合金の 作製は、田相金属とTiCとの密度の差異のため、粉末状態で混合 し、成形し、焼結するという方法をとっている。この方法からくる欠点 は、台金内部にボイドが残っていることである。また合金の融点以上 に加熱できないことからくる残留がスの影響も無視できない。 特にウイスカーを強化素材として使用した場合に初ような傾向が失さい。

低重力の環境下の溶融合金試料は、熱対流による撹乱や、TiCK 母相Ni合金との密度差による分離現象を起さない。したがって、短 時向の低重力実験条件ではあるが、良好な複合合金試料が得ら れるものと期待した。

3. 2 実験材料

実験には、平均長さ1mm,大さ数μmのTiCウイスカー及が1μm のTiC粒子と2MmのNigがモリブデン(Mo)微粒子を使用した。 これらの素材を使用して、TiCのウィスカー及が粒子などの成分が、 表3.1のようなフライト実験用試料を混合、成形、燈結などの処理 により準備した。なお使用した TiC ウィスカーは、大阪工業技術試験所 から提供されたものである。図3.1にそのTiCウ1スカーを示した。 フライト実験用試料の種類、組織、寸法、重さを表 3.1に示した。

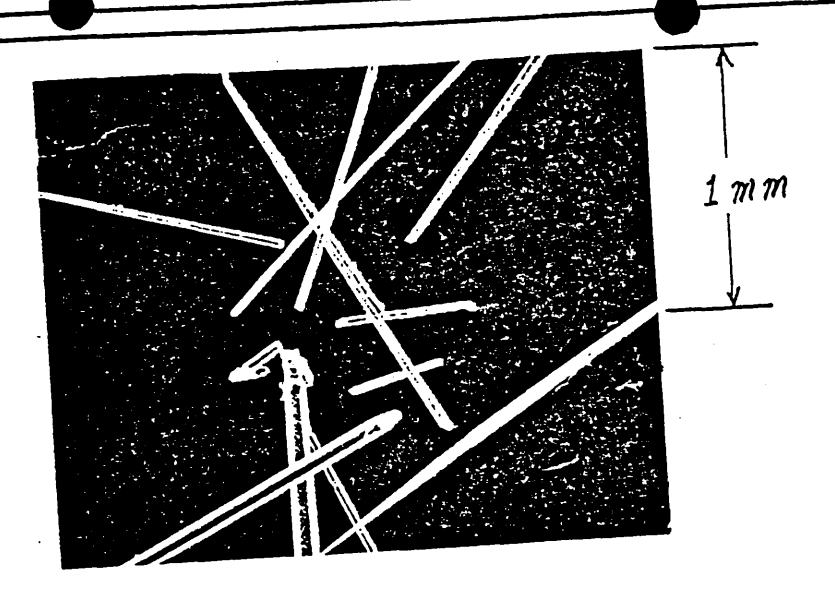


図 3.1 TLC ウイスカー

表3.1	フライ	実験試料

				١ مه ١٠٠١ طره	重さ(₽)
電気炉	組成	(重量)	%)	寸 法 (mm)	
·	TiC	Mo	Ni	9-7 ⁹ ×6.6(1個)	3.13
No. 1	30 (ウイスカー)	10	60	2.9 ^参 x/8.3 (3個)	0.72
No. 2	25 (粒子)	10	65	(9.7 ⁶ ×14.7)	(5.9)

3.3 実験データ

(1) 電気炉内温度

電気炉 No.1&び No.2の温度データを図3.3,3.4に示す。

(2) 低重力環境

既述 2.3 (4) 項 赫照

(3) 試料への加圧

溶融状態の試料への加圧は、加熱用始4分後に行った。 加圧は約20段/cm²であった。電気炉 Na 1の加圧動作は 限られた試料の寸法の縮少から、子定どおり約10mmの ストロークで行われた。(図3.2参照)

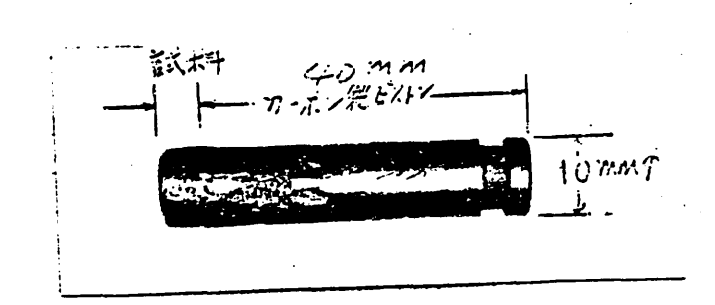


図3.2 フライト実験で得られたTiCウイスカー强化複合合金試料No.1ヒカーボン製ビストン棒。

電気炉No.2については、試料が容器からもれたため、加圧効果の 確認はできなかった。

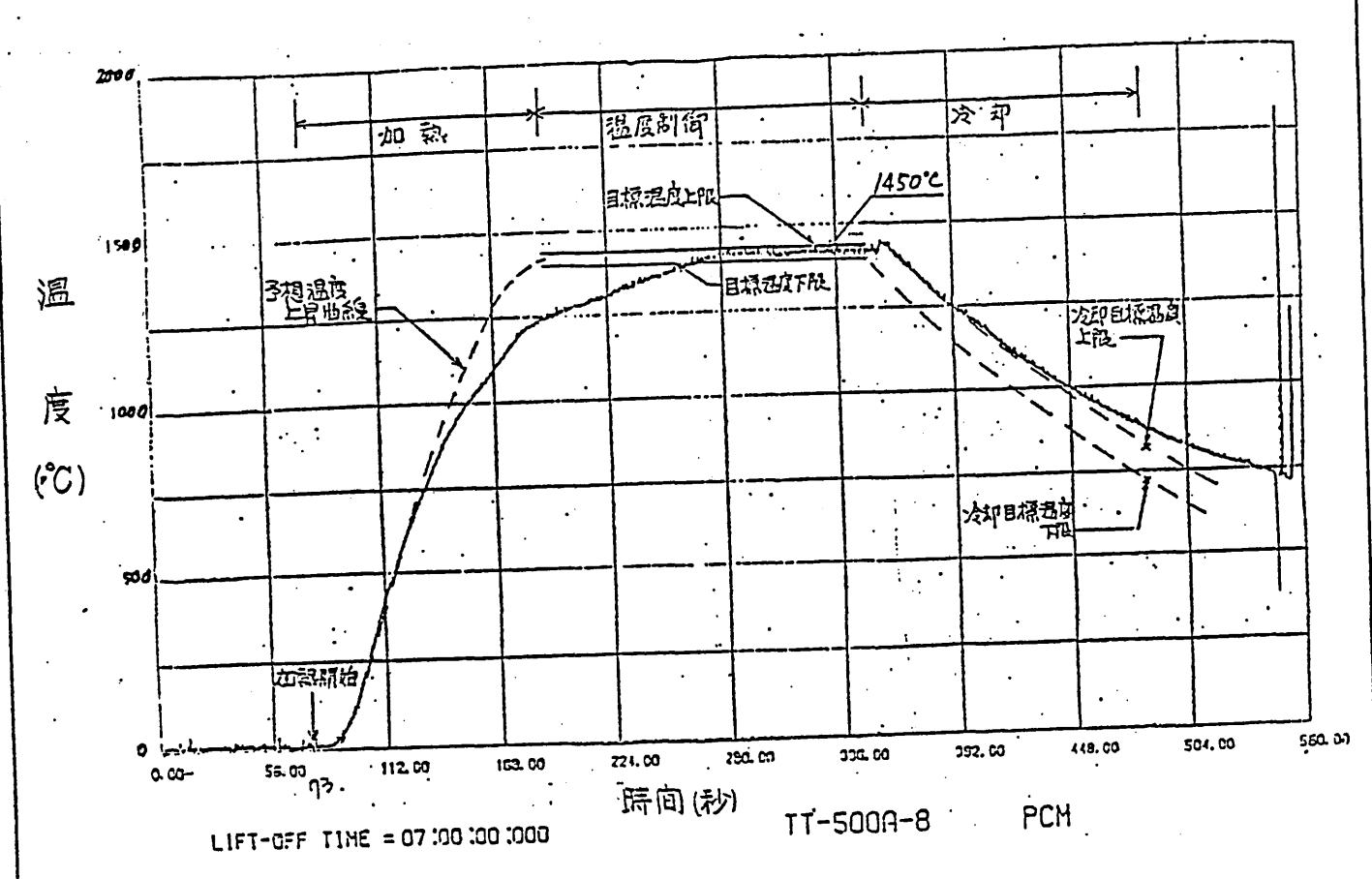


図3.3電気炉 No.1 温度~ 時间曲線

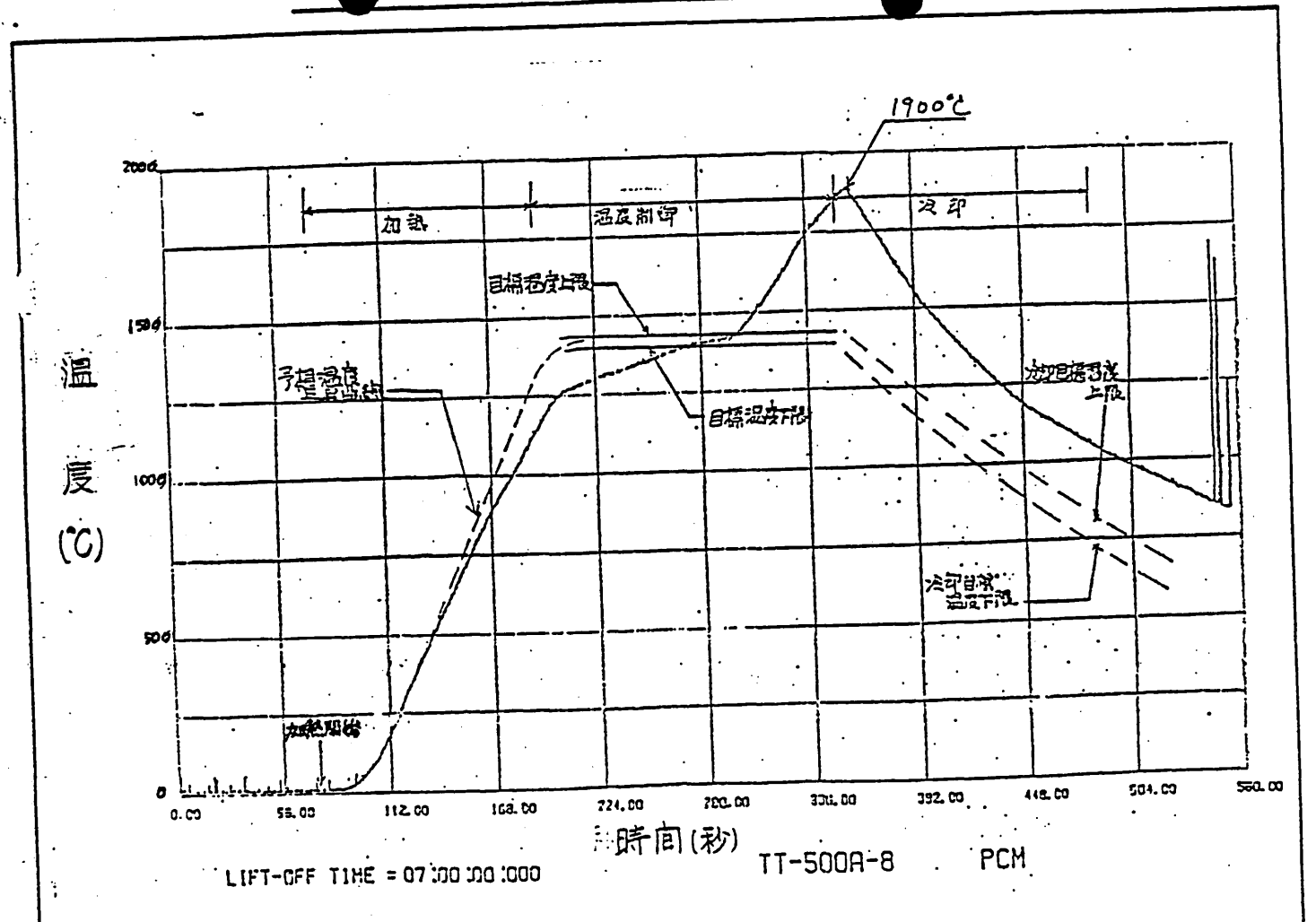


图3.4 电 気炉 No.2 温度~ 時间曲線

3.4 試料の解析

(1) 顕微鏡組織

図3.5に電気炉No.1試料の横断面の顕微鏡組織を示した。 ウィスカーは、図の面に対してほぼ垂直に配列しているのでウィスカーの端面が現われている。このような良好な組織をもったウィスカー張化型合金を溶融法で作製できたのは、 低重力環境を利用したからであり、地上ではこのような 合金はできない。

図3.6には、電気炉 No.2試料の顕微鏡組織を示した。
TiC微粒子が均一に分散した良好な組織である。
この組織は、容器内に少量残存した試料について得られた
ものである。なお、図3.7に同じ電気炉 No.2 試料の地埃験

による顕微鏡組織を示したが、地上実験では、この図に示すような局部的微少偏折とともにマクロな偏析も顕著に現かれ、均一に分散した良好な組織は得られない。

(2) 硬さ及び密度

電気炉 No. 1 試料のマイクロビッカース硬さは、平均350程度の硬度値が測定された。この硬度は、鋳造用超耐勢合金に相当している。また密度は、フライト前の試料の255%がガフライト実験後は、6.438/cm³に増えた。

(3) 低重力環境に関する考察

重力加速度が 8×10~6程度になったにもかかわらず 良好な組織 が得られたのは、次の理由によるものと考察される。

一般に半径下、窓度Pdの球状分散粒子が、窓度Pm粘度Pmのマトリックスの池中色速度Vで移動するVき、ストークスの式から $V = \frac{Z Y^2 G(Pd - Pm)}{P. \mathcal{P}m}$

の関係が得られる。分散粒子の半径下に種々の値を入れてやると、 とれぞれの大きこの粒子の速度でかずまる。ここで行は重力の加速度 である。 今が 8×10⁻²程度の 場合、下にが 約 7μm の粒子の 際には、粒子の移動速度では 小さく、影響を考えなくてよいが、 ウイスカーのように 大きな繊維材となると、影響が無視できな くなる。 しかし、 No. 1 の電気炉の 試料 は昇温速度の遅れのため、 完全に溶脈状態,にあった時间 がきわめて 短時间であったと 推定されるので、 テか 10⁻²程度にまで、 でった ための影響は、 大きくなかったものと考えられる。

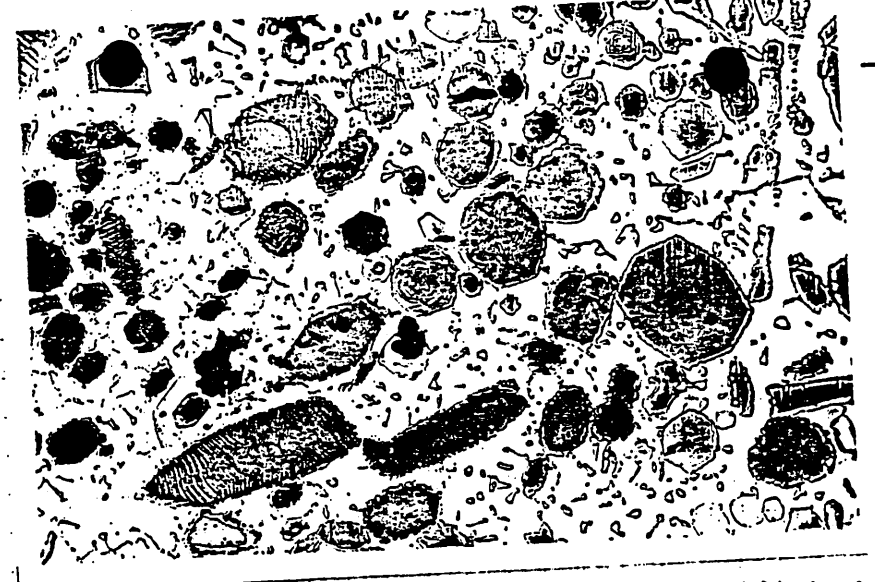


図3.5 電 気炉 No.1 試料の顕微鏡組織 (約700倍)



回3.6 電気炉 No.2 試料の顕微鏡組織 (約700倍)

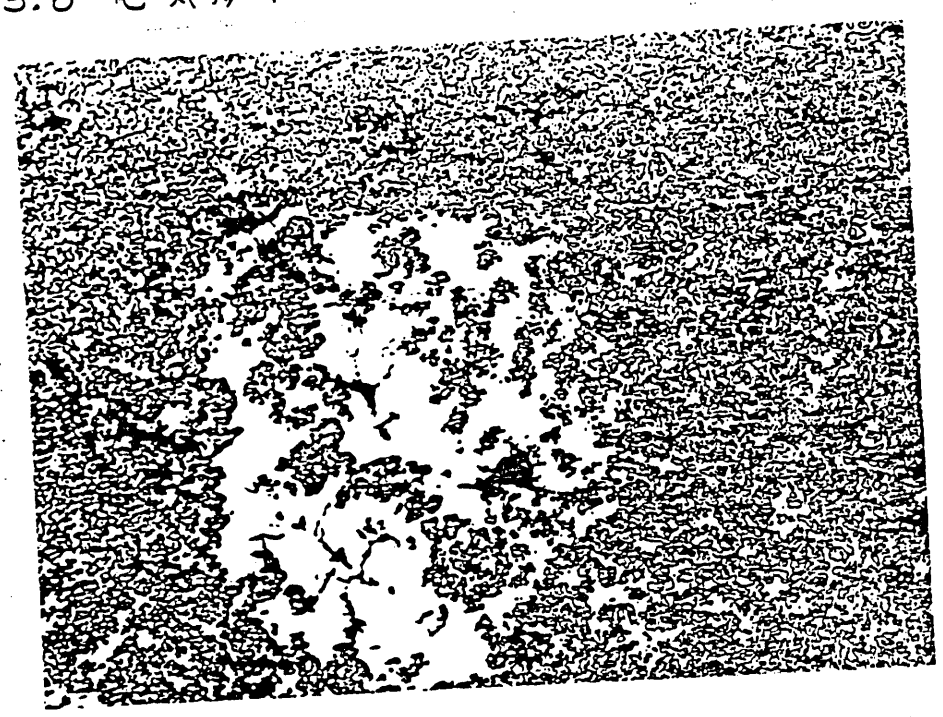


図3.7 地上実験で得られた同上試料の顕微鏡組織(約300倍)

3.5 まとめ

NI-TIC不電気炉NO.2 試計では、実験の後半で温度の異常上昇があったものの、電気炉NO.1、NO.2の両試料とも地上実験のものと比べて良好な組織が得らいた。

更に電気炉NO.1試料については、鋳造用超耐熱合金に相当する硬度が得られ、すた密度も加圧により約2.5倍に増えた。

低重力環境が試験に与える効果については、今回のみでは十分な解析ができなかったが、その効果は合金の組織に顕著に現かれているので、 今後 更に分析を進めることとしている。

すた、昭和56年 1・2月期に打上げを予定している TT-500 A型ロケット 9号機では、8号機での成果を踏まえて必要な処置を行い、ニッケル系合金下製のために3個の電気炉を使用して 本格的な実験を行う予定である。

4. アモルファス半導体の製造臭験について 4.1 実験の目的

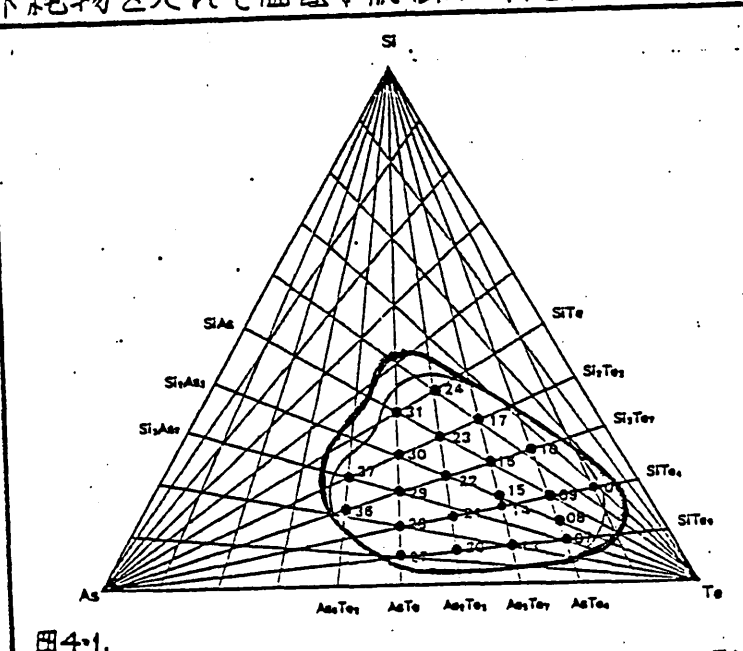
Si-As-Te系カルコケンアモルファスキ専体を電気炉 No.3内で加熱,溶融, 冷却処理して,無重力効果を用りて三元素が均質に混合し,合金化された理想 状態に近い了モルファス組織をもった半導体を製作する。

Si-As-Te系Tモルファスキ導体は、されぞれ4,3,2配位の結合腕で構成されたカルユゲ ナイドカラスであるために、四子1に示すようにギブスの三角形中に広りカラス化領域を持ち、 四4-2 および四4-3.にその電気的、光学的性質の測定例を示すように、例えば、電気的禁 止帯悟は 0.6 eV から 2.0 eVと, 単結晶GeからSi, そして GoAs に匹敵する物性定数を カバーし、電子デバイス 尽でオプトエレクトロニクス 材料としても応用範囲の広り基本 的性質を保有している.

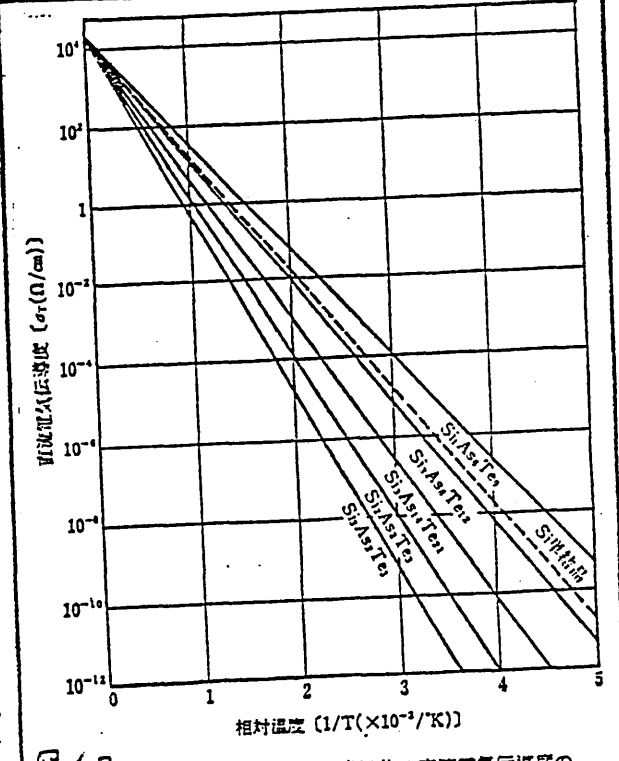
とこるが,この材料は表41に各構成元素の比重と触点を示すように,1412°Cと りう高融点で比重が2.83という軽りSiをそれより低り融点で、しかも比重の重りTeやAs と混合して作られることから、三者の共晶温度1100 ℃以上で20時向加熱混合してもは かなか物質な材料が得られなり欠点を有し、従来のアンプル中におけるメルトクエンケ法 でのかラス化にも果して充分ロガラス化組織とはっているか?はど,1)なりる技術的に

問題が残されていた。本研究は均度混合水可能 は宇宙空间の無重力下で, 理想的はアモルファ スキ専体組織の試作と、これに Ni, Mn などの 不純物を入れて価電子制御の可能性を向うと云

表4.1. Si-As-Te 原材料の融点と氏重					
	Si	As	Te		
melting point (°C)	1412	817	449		
density (g/cm³).	2.33	5.72	6.24		



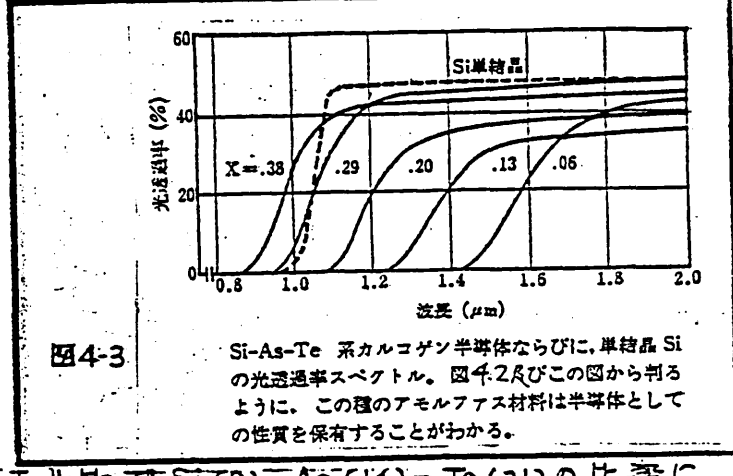
ゲンガラスのガラス化領域 この領地外では、4つう3成分から成る固溶体が存在せず、多くの場合2成分元素からなる 還当にほじり合った多葉品が出来てしまう。またガラス化延囲は高温の溶験状態からの余却の遇さ によって多少変化し、急冷するほど広くなる。因には空気中(大・泉)と水中(結集)がクェンチを示した。



4·2 Si-As-Te 系カルコゲン半導体の直流電気伝導度の 温度也存性。 図の磁線は Si 単結晶のそれを比較の ため示したものである。

う, 固体物理学の里大課題の研究者学の 日かに, こうしたこの材料の広域有用性, 物性的性質の広域制御性, 口50℃に無 重力効果のメリットが大きりと期待でき る点はどを考慮して計画されたものであ る。

4.2 試料



今回の実験に試供したサンプルは、原子モル比で、ST(9)=As(14)-Te(21)の比率に
評量した四十二のギブス三角形座標でNo-22に相当する組成比のものである。こうして
準備したサンプルは、そのヨュアンプルに封じて加熱溶融すると、Asの蒸気圧が
1万気圧以上となるので、あらかじめ直径5cm、長さ8cmの大きなアンプルで溶融

し合金したものを再び粉末にして、ロケット実験用アンプルに真空封じした。アンプルの大きには凶4・4に示すような形で、

の大きさは凶牛・サンボースでよっていかで、 外径 9.5 mm (内径 T.5 mm), 長さ 38 mm (内長 33 mm)である。 封じたサンプルの重量は 2 9トである。

4.3 実験データ

(1) 電気炉内温度

炉内の温度プロファイルは 四4-5 に示すように、微少重力下での炉内 到産温度 Tp=1230 ℃ , 加索 時间 tp=170 秒 で、目標温度

Si-As-Te AMORPHOUS SEMICONDUCTOR.

地上実設
ロケット実験
(TT500A-3)

四4·4 地上予備実験ならびドロケット 実験で得た試料、アンファル外観

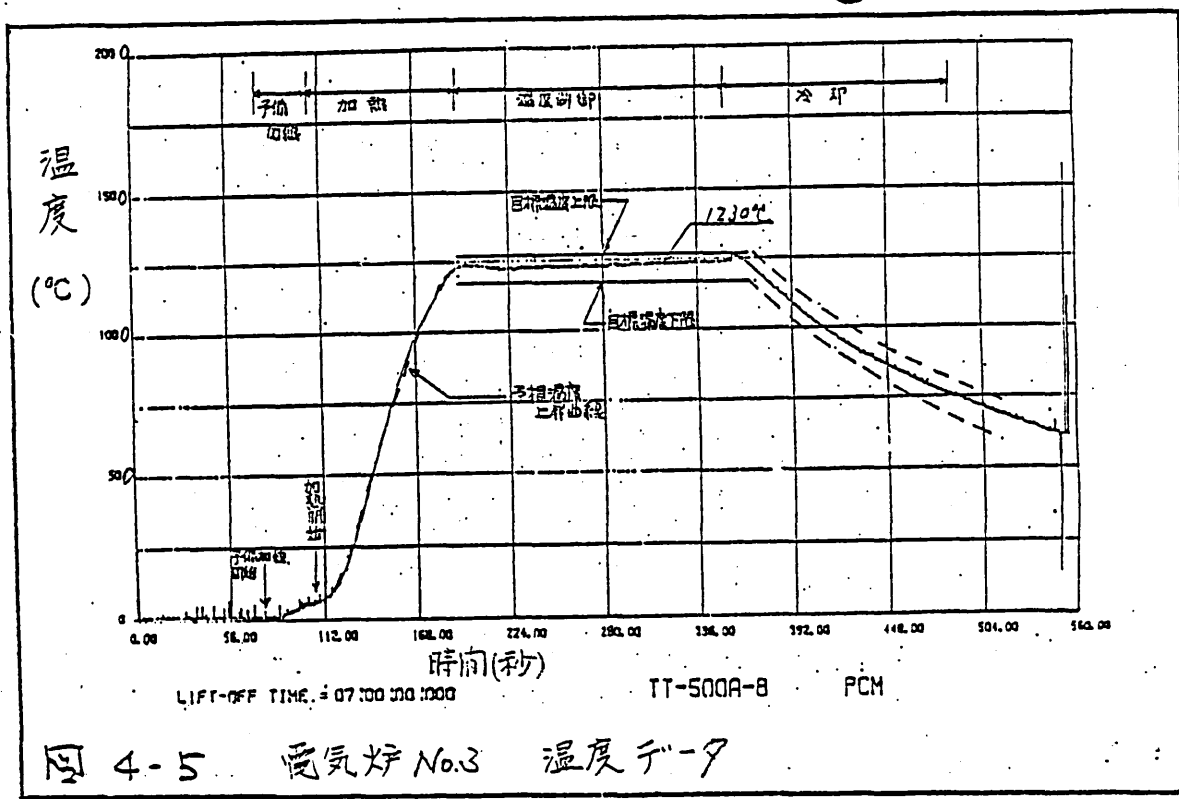
上限1260℃,下限1160℃以内であった。

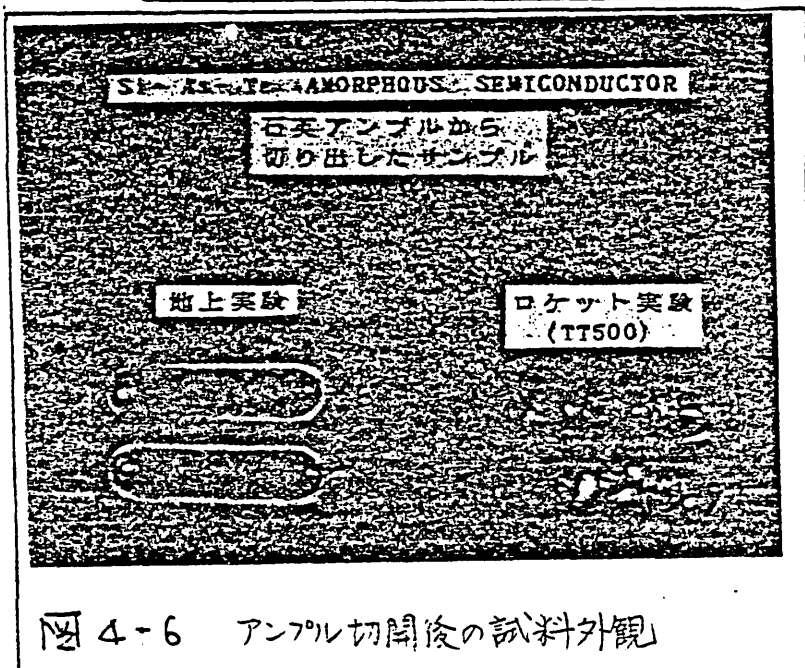
(2) 低重力環境

既述の23(4)項を参照。

(3) 試料の取り出し 及び 結晶組織

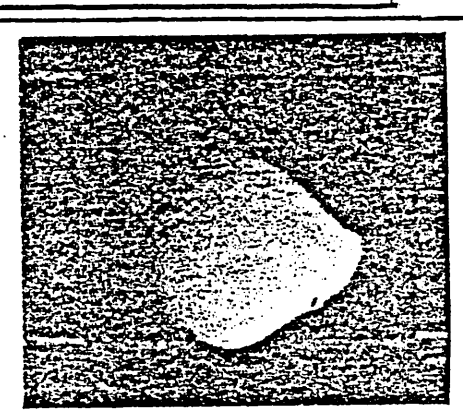
試料は先すアンプルをダイヤモンドカッターで、核単ヒカットして取り出した。カット直後の様子は 団4-6に示すように、地上子備史験で溶融したアンプルでは底に試料が固まってりるのに対し、ロケット実験の試料ではアンプル壁面に一様に附着して、かつ、アンプルの先(ヘソ)の方にドロップ(水流)状に固まってりた。



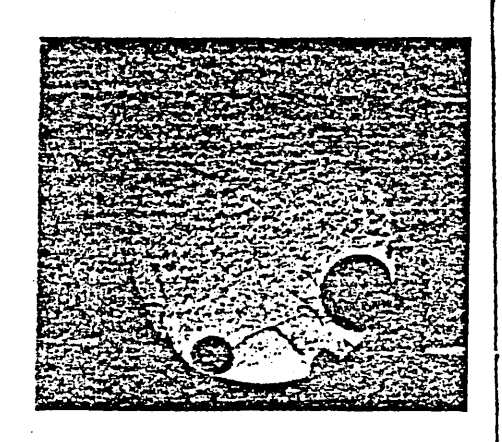


団4-7は、地上奥酸で試作した試料とロケット 東酸で作った試料の研磨面の顕微鏡写真(5倍) を比較したもので、地上東酸で得た試料が粗り画 を有するのに比べて、ロケット実験で得た試料は見 事に物質な滑らかは鏡面となっている。

原子組織がどの程度完全な了モルファス組織にはっているかについては、一般的にX線のハロー像の程度を用いて判定ませる水、試作した試料は地上むよびロケット東験ともほぼ完全なハロー像を示



(a) 口下小实験試料



(6) 地上实验試料

|型4・7 試料表面の金馬頭牧 鏡写真(約5倍)宇宙実験の 試料表面は滑らかである。 しており、微細な判定法とはりえなり。そこで おi-As-Te気で一番アモルファス 組織とけり難り おi元素のX 總 囲折線(川)に注目して、これを判定した。 四4-8 は 地上党験ロケット 奥験ロケット 奥験ロケット 奥酸ロケット 奥酸ロケット 奥酸ロケット 奥酸ロケット 奥酸ロケット 奥酸ロケット 奥酸ロケット 奥酸ロケット 奥酸ロケット 東京では カール・アーン をスペクトルにして出したものである。 結晶不完全性の 程度を判定する 登して、 四の △A という 量を定義し、こり 大きさを 枕 取した。 その 結果は 表 4-2 に 一元 す 風りで、 地上 奥酸で 2 介 由 溶 融した 試 料 が △A = 32 であるのに対し、ロケット 奥酸の 試 料では △A=17 であった。 これに 対し、 地上 奥酸で 18 時 自 以上 かけて 溶 融した 試 料でも △A か 21 程度であることから、ロケット 奥酸で得た 試 料 かに 理想に近り アモルファス 化 か 奥 銀 エ ル た か を よく 物 誇っている。

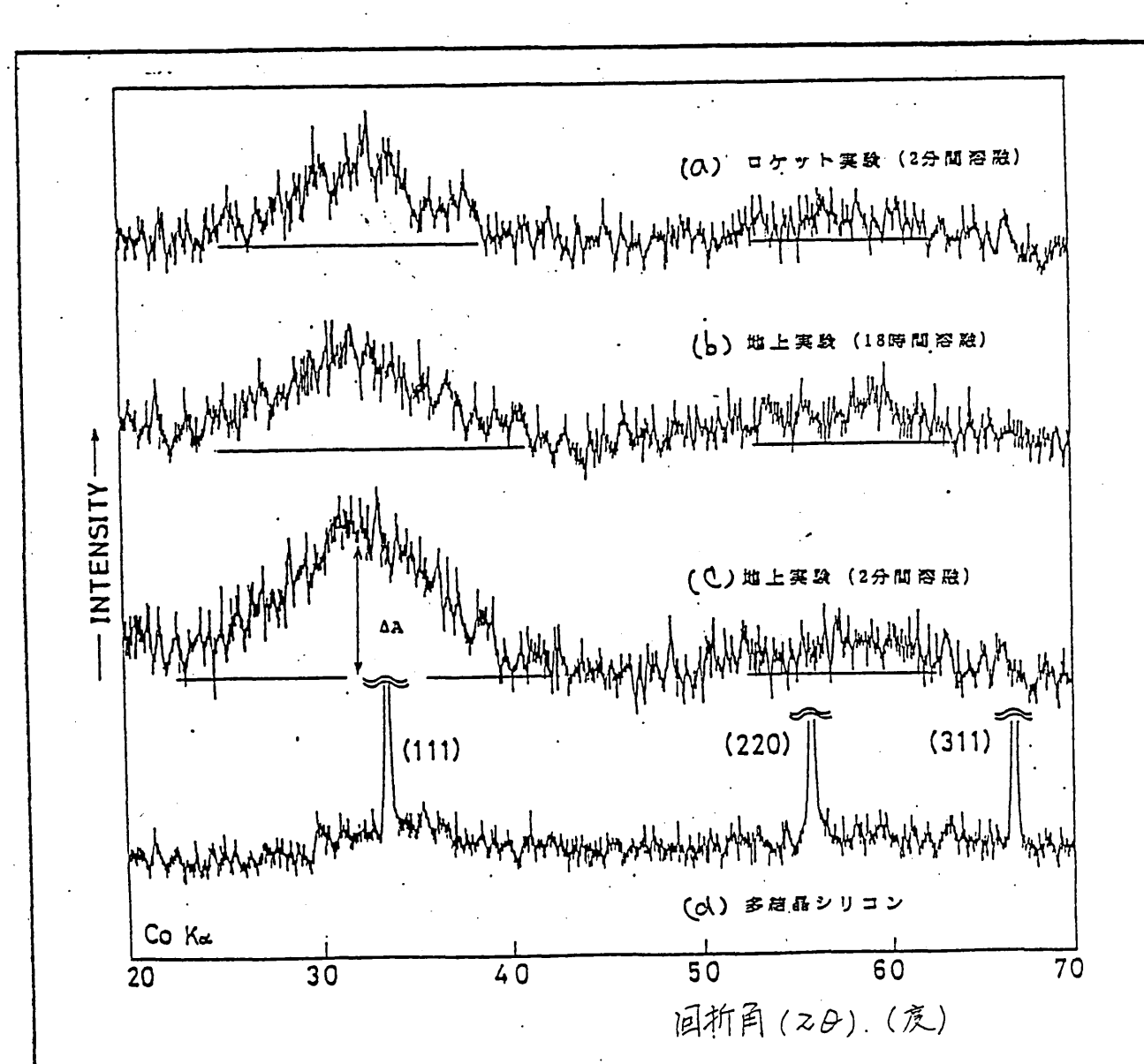


図4-8 回折角33、19度のS;(///)構造のまかりのX線回折スペプトルの比較。 図に示すようにロケット実験試料が最もアモルファスに近いスペクトルも 示している。

		ا سا	
もルフ	- 〜 絶回折スペクトル	横岩がらびし	こ電気的・光学的性質の比較
放谷・人	スペオンスパー ハー・リー・	14176	

Δ	A (mm)	σ ₂₅ (Ω ⁻¹ cm ⁻¹)	Δε _σ (eV)	ε _{g(opt)} (eV)
地上実験 (2分間溶融)	32	1.58×10 ⁻⁷	0.613	1.00
地上実験(18時間溶融)	21	2.05×10 ⁻⁸	0.710	1.02
ロケット実験 (2分間容融)	17	1.35×10 ⁻⁷	0.615	1.01

4.4. 電気的 及び光学的性質

アモルフィス半等体の特質はその電気的は500に光学的性質の判定で最も敏感に判別できる。しかしなが5今回のロケット実験では「個の資料による分析を行うため」の組成による電気的光学的性質の詳しい特性の解析は、今いずらく時间を要する。

現在までに、室温上かける直流電気伝導度の元、その温度依存の活性化工ネルギー A Eor 及び光学的禁止滞幅 Eg (opt) を測定した。これらの結果を地上臭験の試料と比較したのか、表4-2 である。この結果からいえることは、2分向の溶融では地上臭験の試料と比べて明5かに良質のアモルファスキ等体となっているということである。 しかしなから組成比の不均一性とからんでこのままのデータでは明確な結論をますのは早計といえる。今後、光伝導度、光学吸収スペットル、ラマン取出など詳しい実験データが出された後、明らかにしたいと思う。

4.5 まとめ

『ケット東東によって低車力環境で溶融合金化したアモルファスキ等体は、その金馬化粗酸は5かにX線国折パターンの両方から地上東野で2介面溶融の試料は無論のこと、18時南溶融の試料と比べておより完全はアモルファス組織とけっていることが明らかにされた。

電気的 及び光亨的胜隻の方折結果からは溶融時间な等[1] 拉上臭蹊試料と比べて, ロケット臭験の試料な優れていることが判, もぶ, より詩 い 解析は光伝導度, 光吸収スペクトル 足び ラマン散出 ほどの臭験症果灰出るかを行って さらに明確にしたい。

5. なすか

以上、TT-500A型ロケット8号核による宇宙校料実験の中向成果をとりまとめた。今回の打上げの目的は、宇宙材料実験用搭裁実験装置の機能確認試験であったが、その初期の目的はほぼで達成したと考える。また、この過程で我が国初めての小型ロケットにお守宙材料実験を行り、地上では得られない人に一てに不被合合金を作り、地上で作製するよりもはるかに短時間で良質のアモルファス半導体を作ることができた。

現在、これまでの成果及公検討結果をふまえ、次のTT-500A型ログト 9号核による本格的な実験を学術やである。

なが、9号様には、電気かを4個(ニッケル系合金用3個とアモルファス 半学体用1個)搭載することになっている。

以 上